

## PROJEÇÃO DE MERCATOR: RESOLUÇÃO DO PROBLEMA INVERSO USANDO O MÉTODO DE NEWTON - RAPHSON

ROBERTO A. FERNANDES

### SUMÁRIO

Este artigo descreve como solucionar o problema inverso da projeção de Mercator (dadas as coordenadas de um ponto na superfície de representação, obter as correspondentes coordenadas na superfície de referência) utilizando o método de Newton-Raphson para determinação das raízes reais de uma equação. Adicionalmente são apresentados programas para calculadoras de lógica RPN que solucionam os problemas direto e inverso nessa projeção cartográfica.

### INTRODUÇÃO

Como se sabe, a projeção cilíndrica de Mercator é usada na produção das cartas náuticas da Diretoria de Hidrografia e Navegação (DHN). A resolução do problema direto nessa projeção (i.e., conhecidas as coordenadas de um ponto na superfície de referência, calcular as coordenadas do mesmo ponto na superfície de representação) é tratada rotineiramente na Divisão de Cartografia da DHN, nada havendo a acrescentar. A resolução do problema inverso (i.e., conhecidas as coordenadas ( $X, Y$ ) de um ponto na superfície de representação, calcular as coordenadas ( $\phi, \lambda$ ) do mesmo ponto na superfície de referência), no entanto, não é tão trivial, devido à impossibilidade de explicitar  $\psi$  (latitude geodésica) na expressão de  $\psi$  (latitude isométrica) (1). O problema, naturalmente, comporta várias alternativas de solução. O artigo a seguir descreve como a questão foi resolvida, atendendo as especificações de precisão e tempo de resposta estabelecidos, empregando-se o método de Newton - Raphson para determinação das raízes reais de uma equação.

Cabe observar que essa solução foi concebida inicialmente há pouco menos de dez anos, ao se tratar da questão da digitalização das Folhas de Bordo (FB) no sistema de Cartografia Apoiada por Computador (CAC) da DHN. No entanto, dificuldades adicionais surgidas devido ao receio de ocorrência de deformações no suporte (papel ou plástico) que contém o mapa ou carta a ser digitalizado fizeram com que essa solução fosse abandonada em favor de uma conversão

de coordenadas via transformação geométrica (transformação afim geral), aproveitando-se a existência, no sistema convencional empregado pela DHN, de pontos de controle situados nas proximidades dos cantos do mapa a ser digitalizado. Esses pontos de controle fornecem o conjunto de pontos comuns aos dois espaços envolvidos no problema (sistema de coordenadas da mesa de digitalização e sistema de coordenadas geodésicas) com um grau de liberdade que permite "absorver" o "trabalho" do plástico ou papel. É verdade que se poderia tentar insistir na solução pelo método de Newton - Raphson, usando os pontos de controle e realizando um ajustamento pelo método dos mínimos quadrados (MMQ); para as circunstâncias descritas, entretanto, o encaminhamento da questão via transformação geométrica pareceu bem mais simples, além de não impactar de forma tão significativa o tempo de processamento. O surgimento de circunstâncias distintas das citadas, ligadas ao esquema de cartas eletrônicas, veio resgatar a solução via Newton - Raphson de um aneônomo esquecimento.

### A PROJEÇÃO DE MERCATOR

No sistema cilíndrico de Mercator, caso tangente, são as seguintes as condições iniciais (ver figura 1):

- as transformadas dos meridianos são obtidas pelas projeções desses meridianos sobre o cilindro tangente à superfície de referência, no Equador. Dessa forma as transformadas dos meridianos serão raios perpendiculares ao Equador e igualmente espaçadas;
- na superfície de referência os paralelos são circunferências paralelas ao Equador. Dessa forma, as transformadas dos paralelos serão representadas como elas paralelas ao Equador e com o mesmo comumente que este;
- o centro da representação é tomado como sendo a intersecção do Equador com o meridiano central. A transição entre o Equador contém

o eixo X e a transformada do meridiano central contém o eixo Y.

O desenvolvimento, no plano, do cilindro tangente ao Equador é mostrado na figura 2.

A partir das condições iniciais estabelecidas percebe-se que:

- X é uma função linear da longitude:

$$X = C1 \cdot \lambda + C2;$$

- Y é função apenas da latitude:  $Y = f(\varphi)$ .

A projeção de Mercator é uma projeção conforme. Conformidade significa preservação de ângulos, o que será obtido se o fator de escala independe da orientação de um arco elementar. Analiticamente, a condição de conformidade pode ser expressa como a seguir (2):

$$m^2 = \frac{E}{e} = \frac{F}{f} = \frac{G}{g}$$

sendo  $m$  = fator de escala

$e, f, g$  = quantidades fundamentais de Gauss relativas à superfície de referência;

$E, F, G$  = quantidades fundamentais de Gauss relativas à superfície de representação.

À vista das condições iniciais estabelecidas e considerando que, para o caso presente, a superfície de referência é um elipsóide, tem-se:

$$e = M^2$$

$$f = F = 0$$

$$g = N^2 \cos \varphi$$

$$E = \left( \frac{dY}{d\varphi} \right)^2 \quad (3)$$

$$F = \left( \frac{dX}{d\lambda} \right)^2 \quad (3)$$

sendo:  $M$  = pequena normal

$N$  = grande normal

Substituindo, na condição analítica de conformidade, as quantidades fundamentais de Gauss por suas expressões, vem:

$$\frac{\left( \frac{dY}{d\varphi} \right)^2}{M^2} = \frac{C1^2}{N^2 \cos^2 \varphi}$$

Extraindo as raízes e separando as variáveis ...

$$dY = C1 \frac{M}{N \cos \varphi} d\varphi$$

Ocorre que  $\frac{M}{N \cos \varphi} = d\psi$  (latitude isométrica);

assim, substituindo  $d\psi$  por seu valor e integrando a equação diferencial, vem ...

$$Y = C1 \cdot \ln \left[ \left| \tan \left( 45^\circ + \frac{1}{2} \cdot \varphi \right) \right| \cdot \left( \frac{1 - e \cdot \sin \varphi}{1 + e \cdot \sin \varphi} \right)^{e/2} \right] + C3$$

na expressão anterior e é a excentricidade do elipsóide utilizado.

A determinação das constantes de integração, para o caso comum, com o cilindro tangente ao Equador, fornece (2):

-  $C1 = a$ , sendo  $a$  o semi-eixo maior do elipsóide empregado;

-  $C2 = -a \cdot \lambda_0$ , sendo  $\lambda_0$  a longitude do meridiano de referência. Se esse meridiano for o de Greenwich, como ocorre normalmente,  $C2 = 0$ ;

-  $C3 = 0$ .

Quando se convenciona que a superfície de projeção é um cilindro secante - como ocorre na DHN -, com dois paralelos - padrão, tem-se:

-  $C1 = N \cos \varphi_m$ , sendo  $\varphi_m$  a latitude do paralelo padrão ou de referência:  $\varphi_m = (\varphi_1 + \varphi_2)/2$ , sendo  $\varphi_1$  e  $\varphi_2$  os paralelos de secância;

-  $C2 = -N \cos \varphi_m \cdot \lambda_0$ . Quando o meridiano de referência for o de Greenwich, como ocorre normalmente,  $C2 = 0$ .

-  $C3 = 0$ .

Dessa forma, para o caso em que a latitude de referência é o próprio Equador (4), as expressões que permitem a resolução do problema direto, possibilitando a construção do reticulado da carta de mercator, são:

$$X = a \cdot \lambda \quad (5)$$

$$Y = a \cdot \ln \left[ \left| \tan \left( 45^\circ + \frac{1}{2} \cdot \varphi \right) \right| \cdot \left( \frac{1 - e \cdot \sin \varphi}{1 + e \cdot \sin \varphi} \right)^{e/2} \right] = a \cdot \psi$$

sendo:  $(X, Y)$  = coordenadas na superfície de representação (coordenadas planas);

$(\varphi, \lambda)$  = coordenadas na superfície de referência (coordenadas geodésicas no elipsóide);

$e$  = excentricidade do elipsóide;

$a$  = semi-eixo maior do elipsóide;

$\psi$  = latitude isométrica (1)

Observar que a unidade em que estarão expressos X e Y será a mesma usada para a, desde que  $\lambda$  e  $\psi$  estejam expressos em radianos.

### PROBLEMA INVERSO

O problema inverso, na projeção de Mercator, terá de ser resolvido por um processo iterativo, uma vez

que não existe possibilidade de colocar  $\phi$  como função explícita de  $\psi$ . Os passos a seguir são:

- calcular a longitude  $\lambda$ :

$$\lambda = \frac{X}{a} \quad (6)$$

A expressão acima fornece  $\lambda$  em radianos.

- calcular a latitude isométrica:

$$\psi = \frac{Y}{a} \quad (7)$$

A expressão acima fornece  $\psi$  em radianos.

- calcular a latitude geodésica  $\phi$  correspondente à latitude isométrica  $\psi$  por um processo iterativo. No caso presente empregou-se o método de Newton - Raphson (Menezes, 1981; Mirshawka, 1987).

#### MÉTODO DE NEWTON - RAPHSON

Seja a função não linear  $f(x) = 0$ ; os passos a seguir para sua solução, segundo o método de Newton - Raphson, são:

- estimar um valor inicial  $x_0$  para a solução;
- calcular aproximações sucessivas da solução de forma iterativa ( $x_n$ ), segundo a fórmula das tangentes ou de Newton - Raphson:

$$x_n = x_{n-1} - \frac{f(x_{n-1})}{f'(x_{n-1})}$$

- interromper as iterações quando  $|x_n - x_{n-1}| < \epsilon$ , sendo  $\epsilon$  a tolerância fixada. A solução para  $f(x) = 0$  será  $x = x_n$  e a incerteza estará no entorno de  $\pm \epsilon$ .

Aplicando o método ao caso presente, considerando que

$$\psi = \ln \left( 45^\circ + \frac{1}{2} \cdot \phi \right) + \frac{1}{2} \cdot e \cdot \ln \frac{1 - e \cdot \sin \phi}{1 + e \cdot \sin \phi}$$

e que a função não linear cuja solução é procurada é  $f(\phi) = 0$ , i.e.,

$$f(\phi) = \frac{1}{2} [\ln(1 + e \cdot \sin \phi) - \ln(1 - e \cdot \sin \phi) + e \cdot \ln(1 - e \cdot \sin \phi) - e \cdot \ln(1 + e \cdot \sin \phi)] - \psi = 0$$

segue-se que:

- a estimativa inicial da solução pode ser obtida admitindo-se a Terra esférica  $e$ , como consequência,  $e = 0$ . Nesse caso,

$$\psi = \ln \left[ \tan \left( 45^\circ + \frac{\phi_0}{2} \right) \right]$$

onde...

$$\phi_0 = 2 \operatorname{tg}^{-1} (e^\psi) \cdot \frac{\pi}{2}$$

Observar que, na expressão acima,  $e$  é a base dos logaritmos naturais ( $e = 2,718281828$ ).

- as soluções subsequentes são obtidas empregando-se a expressão

$$\phi_n = \phi_{n-1} - \frac{f(\phi_{n-1})}{f'(\phi_{n-1})}$$

sendo

$$f(\phi_{n-1}) = \frac{1}{2} [\ln(1 + e \cdot \sin \phi_{n-1}) - \ln(1 - e \cdot \sin \phi_{n-1}) + e \cdot \ln(1 - e \cdot \sin \phi_{n-1}) - e \cdot \ln(1 + e \cdot \sin \phi_{n-1})] - \psi = 0$$

$$f'(\phi_{n-1}) = \frac{(1 - e^2)}{(1 - e^2 \sin^2 \phi_{n-1}) \cdot \cos \phi_{n-1}}$$

- a convergência será obtida quando  $|\Delta \phi| \leq 10^{-6}$  (i.e., ao centésimo de segundos, com  $\phi$  expresso na forma GG.MMSS notação da calculadora HP - 41CV).

#### PROGRAMAS DE PROCESSAMENTO

Em anexo são apresentados programas de processamento para a calculadora HP - 41CV para resolução do problema direto (programa MERPD) e inverso (programa MERPI) da projeção de Mercator. Os programas utilizam o elipsóide de Hayford, de uso corrente na DHN, como superfície de referência ( $a = 6.378.388,0\text{ m}$ ;  $e = 0,081991890$ ); no entanto, caso seja de interesse do utilizador alterar os valores dos parâmetros definidores do elipsóides, não existem dificuldades maiores para fazê-lo. Os programas empregam as expressões e a lógica apresentadas neste artigo, devendo ser observado que as expressões correspondem ao caso do cilindro tangente.

##### Programa MERPD:

- resolve o problema direto da projeção da Mercator, caso cilindro tangente, utilizando o elipsóide de Hayford;
- o programa solicita os valores da latitude (LAT?) e longitude (LON?), os quais devem ser fornecidos na forma GG.MMSSdd; imediatamente antes de cada solicitação de dados o programa alerta o utilizador, por meio de um sinal sonoro;
- o programa exibe no visor os valores de X e Y, em metros, ao milímetro;
- após uma conversão  $(\phi, \lambda) \rightarrow (X, Y)$  o programa volta a solicitar novos valores para conversão.

### Programa MERPI:

- resolve o problema inverso da projeção de Mercator, caso do cilindro tangente, utilizando o elipsóide de Hayford;
- o programa solicita os valores de X ( $X_?$ ) e Y ( $Y_?$ ), os quais devem ser fornecidos em metros, com a precisão disponível; imediatamente antes de cada solicitação de dados o programa alerta o utilizador, por meio de um sinal sonoro;
- o programa exibe no visor o valor da longitude ( $LON = GG.MMSSdd$ );
- o programa exibe no visor o valor inicial da latitude ( $LAT_0 = GG.MMSSdd$ );
- o programa exibe no visor o número da iteração ( $NR\ ITER = 1$  ou  $2$  ou  $3$ ). Observar que não se espera ter de iterar mais de três vezes;
- o programa calcula e exibe no visor o valor da latitude correspondente a cada iteração ( $LAT = GG.MMSSdd$ );
- quando ocorre convergência, i.e., quando  $|\Delta\varphi| = |\varphi_n - \varphi_{n-1}| < 0,0000001$ , admite-se obtido o valor final da latitude, o qual é exibido no visor ( $LAT_f = GG.MMSSdd$ ); não sendo o caso o programa volta a iterar;
- após uma conversão ( $X, Y \rightarrow (\varphi, \lambda)$ ) o programa volta a solicitar novos valores para conversão.

### DADOS DE TESTE

Os valores apresentados a seguir foram obtidos com os programas MERPD e MERPI. Observar que conferem com os valores calculados mediante o uso do formulário DHN - 5102 (em anexo), com um detalhe: aqui se trabalhou com o cilindro tangente no Equador. No Equador, portanto, a deformação é nula; dessa forma, ao usar o formulário DHN - 5102, considerou-se o valor de  $u$  (unidade da carta) sobre o Equador. A DHN, normalmente, emprega a opção cilindro secante e no cálculo do reticulado usa um valor da unidade da

carta relativo à latitude média entre os dois paralelos de secâncias, devido à questão da superposição entre cartas náuticas consecutivas. A resolução das equações diferenciais fornece a mesma solução, mas os valores das constantes de integração são diferentes nos dois casos, conforme se viu, já que as condições iniciais são diferentes.

LAT	Y (m)	LONG	X (m)
0°	0,0	0°	0,0
5°	553.589,906	5°	556.619,358
10°	1.111.487,506	10°	1.113.238,716
15°	1.678.166,840	15°	1.669.858,074
20°	2.258.450,780	20°	2.226.477,431
25°	2.857.728,749	-	-
30°	3.482.235,799	-	-

### OBSERVAÇÕES

- (1) Ou latitude crescida.
- (2) Para detalhes complementares deve ser consultada a bibliografia relacionada ao final do artigo.
- (3) A expressão é obtida por meio da matriz de transformação que liga a superfície de referência à superfície de representação.
- (4) Essa situação pode ser vista como um caso limite do cilindro secante, sendo  $N_m = a$  e  $\cos\varphi_m = 1$ . O estabelecimento das expressões que resolvem o problema direto, para o cilindro secante, é inteiramente similar à mostrada no texto principal, i. e.,  

$$X = N_m \cos\varphi_m \lambda$$

$$Y = N_m \cos\varphi_m \ln \left[ \left( \operatorname{tg}(45^\circ + \frac{1}{2} \cdot \varphi) \right) \left( \frac{1 - e \sin\varphi}{1 + e \sin\varphi} \right) \right]$$

$$= N_m \cos\varphi_m \psi$$
- (5)  $X = a(\lambda - \lambda_0)$ , para o caso em que o meridiano de referência não for o de Greenwich.

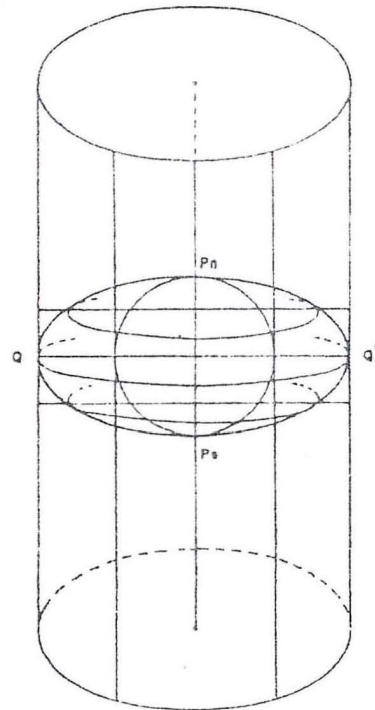


Figura 1

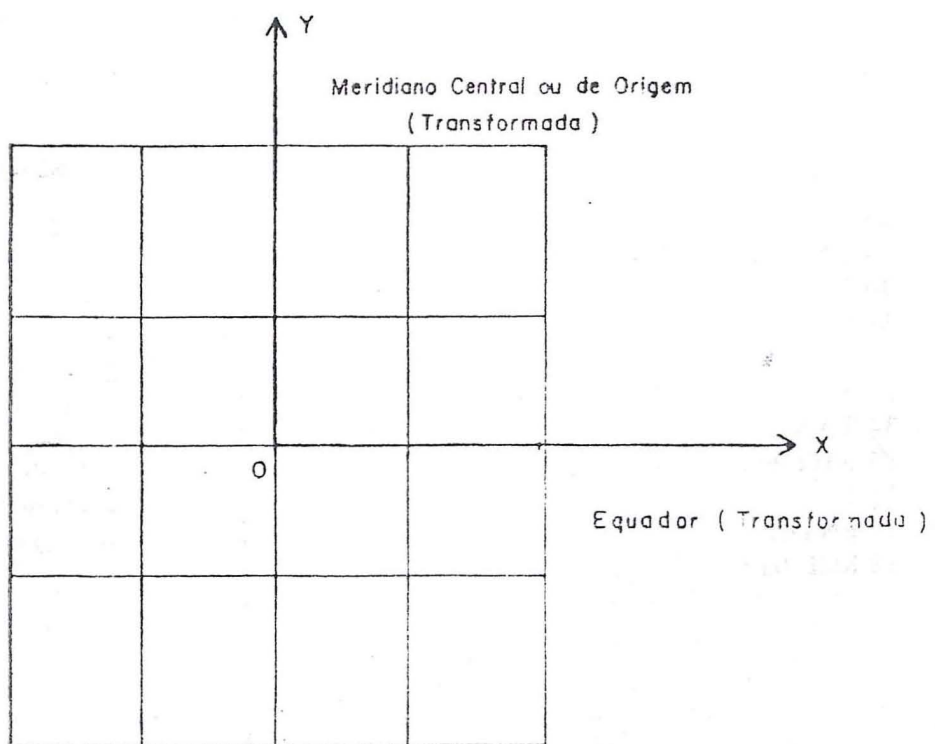


Figura 2

## PROGRAMA MERPD

01 LBL "MERPD"	39 ENTER
02 FIX 9	40 RCL 02
03 6378388	41 SIN
04 STO 00	42 *
05 8199189 E-8	43 -
06 STO 01	44 STO 05
07 STO 02	45 1
08 BEEP	46 ENTER
09 "LAT ?"	47 RCL 01
10 PROMPT	48 ENTER
11 HR	49 RCL 02
12 STO 02	50 SIN
13 BEEP	51 *
14 "LON ?"	52 +
15 PROMPT	53 ST / 05
16 HR	54 RCL 01
17 STO 03	55 ENTER
18 D-R	56 2
19 ENTER	57 1
20 RCL 00	58 STO 06
21 *	59 RCL 05
22 FIX 3	60 ENTER
23 "X =	61 RCL 06
24 ARCL X	62 Y X
25 AVIEW	63 ENTER
26 STOP	64 RCL 04
27 FIX 9	65 *
28 RCL 02	66 LN
29 ENTER	67 ENTER
30 2	68 RCL 00
31 /	69 *
32 45	70 FIX 3
33 +	71 "Y =
34 TAN	72 ARCL X
35 STO 04	73 AVIEW
36 1	74 STOP
37 ENTER	75 GTO 02
38 RCL 01	

## PROGRAMA MERPI

01 LBL "MERPI"	48 AVIEW
02 FIX 9	49 STOP
03 6378388	50 LBL 03
04 STO 11	51 FIX 9
05 8199189 E-8	52 1
06 STO 01	53 $\Sigma$ + 05
07 LBL 01	54 RCL 05
08 BEEP	55 FIX 0
09 "X ?"	56 "NR ITER
10 PROMPT	57 ARCL X
11 STO 02	58 AVIEW
12 BEEP	59 STOP
13 "Y ?"	60 FIX 9
14 PROMPT	61 RCL 06
15 STO 03	62 SIN
16 RCL 02	63 STO 07
17 ENTER	64 ENTER
18 RCL 11	65 RCL 01
19 /	66 *
20 R-D	67 STO 08
21 HMS	68 1
22 FIX 6	69 ENTER
23 "LON =	70 RCL 07
24 ARCL X	71 +
25 AVIEW	72 LN
26 STOP	73 STO 09
27 FIX 9	74 1
28 RCL 03	75 ENTER
29 ENTER	76 RCL 07
30 RCL 11	77 -
31 /	78 LN
32 STO 04	79 ST - 09
33 0	80 1
34 STO 05	81 ENTER
35 RCL 04	82 RCL 08
36 ENTER	83 -
37 EX	84 LN
38 ATAN	85 ENTER
39 2	86 RCL 01
40 *	87 *
41 90	88 ST + 09
42 -	89 1
43 STO 06	90 ENTER
44 HMS	91 RCL 08
45 FIX 5	92 +
46 "LAT0 =	93 LN
47 ARCL X	94 ENTER

95 RCL 01	125 RCL 00
96 *	126 ST/ 09
97 ST - 09	127 RCL 09
98 RCL 09	128 CHS
99 ENTER	129 R-D
100 2	130 ENTER
101 /	131 RCL 06
102 RCL 04	132 +
103 -	133 STO 06
104 STO 09	134 HMS
105 1	135 FIX 5
106 ENTER	136 "LAT =
107 RCL 01	137 ARCL X
108 X 2	138 AVIEW
109 -	139 STOP
110 STO 00	140 FIX 9
111 1	141 1E-7
112 ENTER	142 ENTER
113 RCL 01	143 RCL 09
114 X 2	144 ABS
115 ENTER	145 X>Y?
116 RCL 07	146 GTO 03
117 X 2	147 RCL 06
118 *	148 HMS
119 -	149 FIX 6
120 ENTER	150 "LATF =
121 RCL 06	151 ARCL X
122 COS	152 AVIEW
123 *	153 STOP
124 ST/ 00	154 GTO 01

CÁLCULO DA PROJEÇÃO DE MERCADORIA



$$\begin{aligned} \psi_1 &= \frac{0}{30^\circ 5} & \varphi_1 &= 0^\circ \\ \psi_2 &= \frac{1800'}{1800'} & \varphi_2 &= 1800' \\ \text{up}(\varphi_2) &= \frac{4.855,39783}{4.855,39783} \text{ m} & u &= \frac{4.855,39783}{4.855,39783} \text{ m} \\ \Delta \varphi &= 1800' & \Delta u &= 0' \end{aligned}$$

2019 · MHD

Calculado por Djalma Tracado por enri

Verificado por \_\_\_\_\_ em \_\_\_\_\_ Vencimento dia \_\_\_\_\_ em \_\_\_\_\_

## BIBLIOGRAFIA

- BAKKER, Múcio Piragibe Ribeiro. A Projeção Mercator. Niterói, Diretoria de Hidrografia e Navegação, 1975. 125p.
- BRASIL. Diretoria de Hidrografia e Navegação. Tábuas de Latitudes Crescidas e Comprimento de Arcos de Paralelos e Meridianos (Elipsóide Internacional). Sem Data.
- GEMAEI, Carmil. Sistemas de Projeção. Curitiba, Universidade Federal do Paraná, 1976. 127p.
- MENEZES, Wanda Cristina. Cálculo Numérico: Notas de Aula. Curitiba, Universidade Federal do Paraná, 1981. 133p.
- NIRSHAWKA, Victor. Usando a HP - 41CV na Engenharia. São Paulo, Livraria Nobel, 1986. 130p.
- ROSIER, François Albert. Sistemas de Projeção (manuscrito). Curitiba, Universidade Federal do Paraná, 1981. NC.
- TUCCI, Wilson José (e outros). Busca de Raízes na HP - 41 (Método de Newton). Revista Microhobby no. 13: 22-23, 1984.